

УДК 539.3

ЗАДАЧА ВЯЗКОУПРУГОСТИ ДЛЯ КУСОЧНО-ОДНОРОДНЫХ ПЬЕЗОПЛАСТИН

С. А. Калоеров, А. А. Самодуров

Донецкий национальный университет, 83001 Донецк, Украина

E-mails: kaloerov@mail.ru, andrewsamodurov@gmail.com

Решена задача электромагнитовязкоупругости для кусочно-однородных пластин. Задача сведена к решению последовательности задач электромагнитоупругости с использованием комплексных потенциалов. Приведены общие представления функций приближений в случае многосвязных областей, граничные условия для их определения. Получены аналитическое решение задачи для пластины с одним включением и приближенное решение для пластины с конечным числом включений. Численно исследованы закономерности изменения электромагнитоупругого состояния в зависимости от времени, свойств материалов пластины и включений, расстояний между включениями.

Ключевые слова: вязкоупругость, упругое включение, пьезопластина, комплексные потенциалы, пьезоэффективность материала.

DOI: 10.15372/PMTF20160511

Пьезоматериалы широко используются в различных отраслях современной техники, поэтому возникла необходимость разработки методов определения их электромагнитоупругого состояния при воздействии различных механических сил и электромагнитных полей. В работах [1–3] предложены методы решения задач электромагнитоупругости, позволяющие определять напряженно-деформированное состояние односвязных и многосвязных пластин. В [4] с помощью метода малого параметра задача вязкоупругости для таких пластин сведена к ряду задач электромагнитоупругости. В настоящей работе с использованием подхода [4] решена задача для пьезопластины с одним или несколькими включениями из других материалов и численно исследованы закономерности изменения электромагнитоупругого состояния (ЭМУС) в зависимости от времени, свойств материалов пластины и включений, расстояний между включениями.

1. Постановка задачи. Рассмотрим отнесенную к прямоугольной декартовой системе координат Oxy конечную пьезопластину, занимающую многосвязную область S , ограниченную внешним контуром L_0 и контурами отверстий L_l ($l = \overline{1, L}$) и находящуюся в условиях обобщенного плоского ЭМУС. На контурах отверстий заданы внешние усилия или перемещения, а также индукции или потенциалы электромагнитного поля; во внутренних точках области $z_r^0(x_r^0, y_r^0)$ ($r = \overline{1, R}$) действуют сосредоточенные силы, электрические заряды и магнитные диполи. В некоторые отверстия без предварительного натяжения вставлены включения из других пьезоматериалов, находящиеся вместе с пластиной в условиях идеального механического и электромагнитного контактов. Случай, когда внешний контур L_0 уходит на бесконечность, соответствует задаче о бесконечной

пластине с отверстиями и включениями. В этом случае будем полагать, что на бесконечности заданы напряжения $\sigma_x^\infty, \sigma_y^\infty, \tau_{xy}^\infty$, угол жесткого поворота пластины как целого ω_3^∞ , а также компоненты векторов индукций $D_x^\infty, D_y^\infty, B_x^\infty, B_y^\infty$ или напряженностей $E_x^\infty, E_y^\infty, H_x^\infty, H_y^\infty$ электромагнитного поля. Также будем полагать, что пластина и включения являются линейно-вязкоупругими, электромагнитные постоянные материала с течением времени не меняются.

2. Комплексные потенциалы задачи электромагнитовязкоупругости. Для определения вязкоупругого ЭМУС используем комплексные потенциалы электромагнитовязкоупругости [1]. В этом случае задача линейной электромагнитовязкоупругости для пьезопластины решается с использованием метода малого параметра, в качестве которого выбирается величина

$$\lambda = \nu_{12} - \nu_{12}^0$$

(ν_{12}^0, ν_{12} — мгновенно-упругое и текущее значения коэффициента Пуассона), и сводится к нахождению из граничных условий функций приближений $\Phi_{jk}(z_k)$ обобщенных комплексных переменных [4]

$$z_k = x + \mu_k y. \quad (2.1)$$

Здесь μ_k — корни характеристического уравнения

$$l_{4s}(\mu)[l_{2\beta}(\mu)l_{2\chi}(\mu) - l_{2\nu}^2(\mu)] - l_{3g}(\mu)[l_{3g}(\mu)l_{2\chi}(\mu) - l_{3p}(\mu)l_{2\nu}(\mu)] - \\ - l_{3p}(\mu)[l_{3p}(\mu)l_{2\beta}(\mu) - l_{3g}(\mu)l_{2\nu}(\mu)] = 0,$$

$$l_{4s}(\mu) = s_{11}\mu^4 - 2s_{16}\mu^3 + (2s_{12} + s_{66})\mu^2 - 2s_{26}\mu + s_{22},$$

$$l_{3g}(\mu) = g_{11}\mu^3 - (g_{21} + g_{16})\mu^2 + (g_{12} + g_{26})\mu - g_{22},$$

$$l_{3p}(\mu) = p_{11}\mu^3 - (p_{21} + p_{16})\mu^2 + (p_{12} + p_{26})\mu - p_{22},$$

$$l_{2\beta}(\mu) = -\beta_{11}\mu^2 + 2\beta_{12}\mu - \beta_{22}, \quad l_{2\nu}(\mu) = -\nu_{11}\mu^2 + 2\nu_{12}\mu - \nu_{22},$$

$$l_{2\chi}(\mu) = -\chi_{11}\mu^2 + 2\chi_{12}\mu - \chi_{22},$$

s_{ij} — коэффициенты деформации материала; g_{ki}, p_{ki} — пьезоэлектрические и пьезомагнитные коэффициенты деформации и напряженностей соответственно; $\beta_{kl}, \chi_{kl}, \nu_{kl}$ — коэффициенты диэлектрической, магнитной и электромагнитной восприимчивости.

Функции $\Phi_{jk}(z_k)$ определены в областях S_k , получаемых из заданной области S и ограниченных контурами L_{kl} , соответствующими контурам L_l при аффинных преобразованиях (2.1), и в общем случае имеют вид [4]

$$\Phi_{jk}(z_k) = \Gamma_{jk}z_k + \sum_{l=1}^L A_{jkl} \ln(z_k - z_{kl}) + \sum_{r=1}^R A_{jkr}^0 \ln(z_k - z_{kr}^0) + \Phi_{jk}^*(z_k). \quad (2.2)$$

Здесь Γ_{jk} — постоянные, в случае конечной области равные нулю, в случае бесконечной области определяемые из систем уравнений

$$2 \operatorname{Re} \sum_{k=1}^4 \left\{ 1, \mu_k, \mu_k^2, \frac{1}{\mu_k} \left[1 - \frac{\nu_k}{s_{22}} \left(g_{22} - \frac{2g_{12} + g_{26}}{2} \mu_k + \frac{g_{16}}{2} \mu_k^2 \right) - \right. \right. \\ \left. \left. - \frac{\rho_k}{s_{22}} \left(p_{22} - \frac{2p_{12} + p_{26}}{2} \mu_k + \frac{p_{16}}{2} \mu_k^2 \right) \right], \nu_k, \mu_k \nu_k, \rho_k, \mu_k \rho_k \right\} \Gamma_{0k} = \\ = \left\{ \sigma_y^\infty, -\tau_{xy}^\infty, \sigma_x^\infty, \frac{1}{2s_{22}} [2\omega_3^\infty + 3s_{26}\sigma_y^\infty + (s_{66} - 2\nu_{12}^0 s_{11})\tau_{xy}^\infty + s_{16}\sigma_x^\infty], \right. \\ \left. - D_y^\infty, D_x^\infty, -B_y^\infty, B_x^\infty \right\},$$

$$\begin{aligned}
 2 \operatorname{Re} \sum_{k=1}^4 \left\{ 1, \mu_k, \mu_k^2, \frac{1}{\mu_k} \left[1 - \frac{\nu_k}{s_{22}} \left(g_{22} - \frac{2g_{12} + g_{26}}{2} \mu_k + \frac{g_{16}}{2} \mu_k^2 \right) - \right. \right. \\
 \left. \left. - \frac{\rho_k}{s_{22}} \left(p_{22} - \frac{2p_{12} + p_{26}}{2} \mu_k + \frac{p_{16}}{2} \mu_k^2 \right) \right], \nu_k, \mu_k \nu_k, \rho_k, \mu_k \rho_k \right\} \Gamma_{1k} = \\
 = \left\{ 0, 0, 0, -\frac{s_{11}}{2s_{22}} \tau_{xy}^\infty, 0, 0, 0, 0 \right\}, \quad \Gamma_{jk} = 0 \quad (j \geq 2),
 \end{aligned} \tag{2.3}$$

A_{jkl} — постоянные, определяемые из систем уравнений

$$\begin{aligned}
 2 \operatorname{Re} \sum_{k=1}^4 \left[1, \mu_k, \mu_k^2 \left(1 + \frac{\nu_k g_{11} + \rho_k p_{11}}{\mu_k s_{11}} \right), \frac{1}{\mu_k} \left(1 - \frac{\nu_k g_{22} - \rho_k p_{22}}{s_{22}} \right), \nu_k, r_k^0, \rho_k, h_k^0 \right] i A_{0kl} = \\
 = \left\{ \frac{Y_l}{2\pi}, -\frac{X_l}{2\pi}, -\frac{s_{16} X_l - \nu_{12}^0 s_{11} Y_l + g_{21} Q_{el} + p_{21} Q_{ml}}{2\pi s_{11}}, \right. \\
 \left. \frac{-\nu_{12}^0 s_{11} X_l + s_{26} Y_l + g_{12} Q_{el} + p_{12} Q_{ml}}{2\pi s_{22}}, -\frac{Q_{el}}{2\pi}, 0, -\frac{Q_{ml}}{2\pi}, 0 \right\}, \\
 2 \operatorname{Re} \sum_{k=1}^4 \left[1, \mu_k, \mu_k^2 \left(1 + \frac{\nu_k g_{11} + \rho_k p_{11}}{\mu_k s_{11}} \right), \frac{1}{\mu_k} \left(1 - \frac{\nu_k g_{22} - \rho_k p_{22}}{s_{22}} \right), \nu_k, r_k^0, \rho_k, h_k^0 \right] i A_{1kl} = \\
 = \{0, 0, -s_{11} Y_l, -s_{11} X_l, 0, 0, 0, 0\}, \quad A_{jkl} = 0 \quad (j \geq 2), \tag{2.4}
 \end{aligned}$$

$$\begin{aligned}
 \nu_k &= \frac{l_{3p}(\mu_k) l_{2\nu}(\mu_k) - l_{3g}(\mu_k) l_{2\chi}(\mu_k)}{l_{2\beta}(\mu_k) l_{2\chi}(\mu_k) - l_{2\nu}^2(\mu_k)}, & \rho_k &= \frac{l_{3g}(\mu_k) l_{2\nu}(\mu_k) - l_{2\beta}(\mu_k) l_{3p}(\mu_k)}{l_{2\beta}(\mu_k) l_{2\chi}(\mu_k) - l_{2\nu}^2(\mu_k)}, \\
 r_k^0 &= g_{11} \mu_k^2 - g_{16} \mu_k + g_{12} - (\beta_{11} \mu_k - \beta_{12}) \nu_k - (\nu_{11} \mu_k - \nu_{12}) \rho_k, \\
 h_k^0 &= p_{11} \mu_k^2 - p_{16} \mu_k + p_{12} - (\nu_{11} \mu_k - \nu_{12}) \nu_k - (\chi_{11} \mu_k - \chi_{12}) \rho_k,
 \end{aligned}$$

X_l, Y_l, Q_{el}, Q_{ml} — компоненты главного вектора внешних усилий и суммарные электрический и магнитный заряды, приложенные к контуру L_l ; A_{jkr}^0 — постоянные, удовлетворяющие системам уравнений, получаемых из (2.4) при замене $A_{jkl}, X_l, Y_l, Q_{el}, Q_{ml}$ на $A_{jkr}^0, X_r^0, Y_r^0, Q_{er}^0, Q_{mr}^0$; $X_r^0, Y_r^0, Q_{er}^0, Q_{mr}^0$ — компоненты сосредоточенной силы и сосредоточенные электрические заряды и диполи в точке $z_r^0(x_r^0, y_r^0)$; $\Phi_{jk}^*(z_k)$ — функции, голоморфные в многосвязных областях S_k включая точки приложения сосредоточенных воздействий.

Комплексные потенциалы приближений $\Phi_{jk}(z_k)$ определяются из граничных условий на контурах L_l [4]. Для неподкрепленных контуров механические граничные условия имеют следующий вид:

— если на контуре L_l заданы усилия X_{ln}, Y_{ln} , —

$$2 \operatorname{Re} \sum_{k=1}^4 (1, \mu_k) \Phi_{jk}(t_k) = \delta_{j0} \left(\mp \int_0^s Y_{ln} ds + c_{1l}, \pm \int_0^s X_{ln} ds + c_{2l} \right);$$

— если на контуре заданы перемещения u_{l*}, v_{l*} , —

$$\begin{aligned}
 2 \operatorname{Re} \sum_{k=1}^4 (p_{k0}, q_{k0}) \Phi_{jk}(t_k) = -2 \operatorname{Re} \sum_{k=1}^4 (1 - \delta_{j0}) (p_{k1}, q_{k1}) \Phi_{j-1,k}(t_k) + \\
 + \delta_{j0} (u_{l*} - u_0 + \omega_{j3} y, v_{l*} - v_0 - \omega_{j3} x).
 \end{aligned}$$

Здесь

$$\begin{aligned} p_{k0} &= (\mu_k^2 - \nu_{12}^0) s_{11} - s_{16} \mu_k + (g_{11} \mu_k - g_{21}) \nu_k + (p_{11} \mu_k - p_{21}) \rho_k, \\ q_{k0} &= -\mu_k \nu_{12}^0 s_{11} + \frac{s_{22}}{\mu_k} - s_{26} + \left(g_{12} - \frac{g_{22}}{\mu_k} \right) \nu_k + \left(p_{12} - \frac{p_{22}}{\mu_k} \right) \rho_k, \\ p_{k1} &= -s_{11}, \quad q_{k1} = -s_{11} \mu_k, \end{aligned}$$

$-\omega_{j3}y + u_0$, $\omega_{j3}x + v_0$ — перемещения точек, в случае если тело движется как жесткое целое; c_{1l} , c_{2l} — константы.

Электромагнитные граничные условия получаем в виде:

— если на контуре L_l заданы электрическая и магнитная индукции D_{ln} и B_{ln} , —

$$2 \operatorname{Re} \sum_{k=1}^4 (\nu_k, \rho_k) \Phi_{jk}(t_k) = \delta_{j0} \left(\pm \int_0^s D_{ln} ds + c_{3l}, \pm \int_0^s B_{ln} ds + c_{4l} \right);$$

— если на контуре L_l заданы потенциалы поля φ_{l*} , ψ_{l*} , —

$$2 \operatorname{Re} \sum_{k=1}^4 (r_k^0, h_k^0) \Phi_{jk}(t_k) = \delta_{j0} (\varphi_{l*} - \varphi_{0l}, \psi_{l*} - \psi_{0l}).$$

Здесь и далее верхние знаки в правых частях граничных условий соответствуют внешнему контуру области, нижние — контурам отверстий.

При идеальном механическом и электромагнитном контактах пластины с включением, занимающим область $S^{(l)}$, для функций приближений получаем граничные условия [4]

$$\begin{aligned} 2 \operatorname{Re} \sum_{k=1}^4 [g_{ki} \Phi_{jk}(t_k) - g_{ki}^{(l)} \Phi_{jk}^{(l)}(t_k^{(l)})] &= \delta_{j0} \varepsilon_i, \\ 2 \operatorname{Re} \sum_{k=1}^4 [(p_{k0}, q_{k0}) \Phi_{jk}(t_k) - (p_{k0}^{(l)}, q_{k0}^{(l)}) \Phi_{jk}^{(l)}(t_k^{(l)})] &= \\ &= -2 \operatorname{Re} \sum_{k=1}^4 (1 - \delta_{j0}) [(p_{k1}, q_{k1}) \Phi_{j-1,k}(t_k) - (p_{k1}^{(l)}, q_{k1}^{(l)}) \Phi_{j-1,k}^{(l)}(t_k^{(l)})] + \\ &+ \delta_{j0} [u_{l0} - u_{l*} + (\omega_{j3} - \omega_{j3}^{(l)})y, v_{l0} - v_{l*} - (\omega_{j3} - \omega_{j3}^{(l)})x], \end{aligned} \quad (2.5)$$

где

$$\begin{aligned} g_{ki} &= (1, \mu_k, \nu_k, \rho_k, r_k^0, h_k^0), \quad g_{ki}^{(l)} = (1, \mu_k^{(l)}, \nu_k^{(l)}, \rho_k^{(l)}, r_k^{0(l)}, h_k^{0(l)}), \\ \varepsilon_i &= (c_{1l}, c_{2l}, c_{3l}, c_{4l}, \varphi_0, \psi_0) \quad (i = \overline{1, 6}), \end{aligned}$$

$\Phi_{jk}^{(l)}(z_k^{(l)})$ — функции приближений для включений, представление которых аналогично (2.2), с учетом того что в силу их конечности $\Gamma_{jk}^{(l)} = 0$.

После определения функций $\Phi_{jk}(z_k)$ комплексные потенциалы для пластины-матрицы находим по формуле [4]

$$\Phi_k(z_k) = \sum_{j=0}^{\infty} \lambda^j \Phi_{jk}(z_k), \quad (2.6)$$

где степени λ^j вычисляются с помощью операторных выражений

$$\lambda^j = \sum_{k=0}^j C_j^k D_1^{j-k} D_2^k \frac{\mathcal{D}_\alpha^{*k}(-\beta_2^*) - \mathcal{D}_\alpha^{*j-k}(-\beta_1^* - \delta_1^*)}{-\beta_2^* + \beta_1^* + \delta_1^*}, \quad (2.7)$$

$$D_1 = \frac{\delta_1^*}{4} \left(\frac{E_1^0}{E_2^0} \frac{\delta_2^*}{\beta_1^* - \beta_2^* + \delta_1^*} + 1 - 4\nu_{12}^0 \right), \quad D_2 = \frac{\delta_2^*}{4} \frac{E_1^0}{E_2^0} \frac{\beta_1^* - \beta_2^*}{\beta_1^* - \beta_2^* + \delta_1^*},$$

E_i^0 ($i = 1, 2$) — мгновенно-упругие значения модулей Юнга E_i для главных направлений анизотропии материала; δ_i^* , β_i^* — реологические постоянные материала, связанные с изменением E_i во времени; $\mathcal{D}_\alpha^*(-\tau)$ — дробно-экспоненциальное ядро Работнова резольвентного оператора [5, 6]:

$$\mathcal{D}_\alpha^*(-\tau) \cdot 1 = t^{1-\alpha} \sum_{n=0}^{\infty} \frac{(-\tau)^n t^{n(1-\alpha)}}{\Gamma[(n+1)(1-\alpha) + 1]},$$

или

$$\mathcal{D}_\alpha^*(-\tau) \cdot 1 = \frac{1}{\tau} [1 - e^{-\tau[(1-\alpha)t]^{1-\alpha}}]$$

(α , τ — реологические постоянные материала).

После определения функций $\Phi_k(z_k)$ основные характеристики ЭМУС (напряжения, перемещения, потенциалы, индукции и напряженности поля) вычисляются по формулам [1]

$$\begin{aligned} (\sigma_x, \sigma_y, \tau_{xy}) &= 2 \operatorname{Re} \sum_{k=1}^4 (\lambda_{1k}, \lambda_{2k}, \lambda_{6k}) \Phi'_k(z_k), \\ (u, v, \varphi, \psi) &= 2 \operatorname{Re} \sum_{k=1}^4 (p_k, q_k, r_k^0, h_k^0) \Phi_k(z_k) + (-\omega_3 y + u_0, \omega_3 x + v_0, \varphi_0, \psi_0), \\ (D_x, D_y, B_x, B_y) &= 2 \operatorname{Re} \sum_{k=1}^4 (\lambda_{7k}, \lambda_{8k}, \lambda_{9k}, \lambda_{10k}) \Phi'_k(z_k), \\ (E_x, E_y, H_x, H_y) &= -2 \operatorname{Re} \sum_{k=1}^4 (r_k^0, \mu_k r_k^0, h_k^0, \mu_k h_k^0) \Phi'_k(z_k), \end{aligned} \quad (2.8)$$

где

$$\begin{aligned} \lambda_{1k} &= \mu_k^2, & \lambda_{2k} &= 1, & \lambda_{6k} &= -\mu_k, \\ \lambda_{7k} &= \nu_k \mu_k, & \lambda_{8k} &= -\nu_k, & \lambda_{9k} &= \rho_k \mu_k, & \lambda_{10k} &= -\rho_k, \\ p_k &= s_{11} \mu_k^2 - s_{16} \mu_k + s_{12} + (g_{11} \mu_k - g_{21}) \nu_k + (p_{11} \mu_k - p_{21}) \rho_k, \\ q_k &= s_{12} \mu_k - s_{26} + \frac{s_{22}}{\mu_k} + \left(g_{12} - \frac{g_{22}}{\mu_k} \right) \nu_k + \left(p_{12} - \frac{p_{22}}{\mu_k} \right) \rho_k. \end{aligned}$$

По аналогичным формулам вычисляются основные характеристики для включений, при этом для функций приближений находим

$$\Phi_k^{(l)}(z_k) = \sum_{j=0}^l \lambda^j \Phi_{jk}^{(l)}(z_k). \quad (2.9)$$

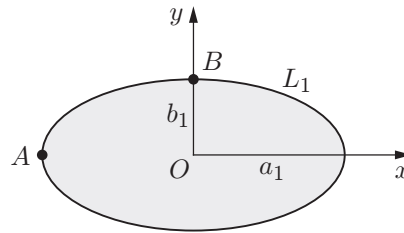


Рис. 1. Геометрия эллиптического включения

3. Пластина с включением эллиптической формы. Пусть бесконечная пластина ослаблена отверстием эллиптической формы, подкрепленным включением. Обозначим через L_1 контур отверстия, через a_1, b_1 — малую и большую полуоси (рис. 1). Рассмотрим три случая нагружения на бесконечности.

1. Пластина растягивается усилиями $\sigma_y^\infty = p$, электромагнитные индукции равны нулю:

$$\sigma_y^\infty = p, \quad \sigma_x^\infty = \tau_{xy}^\infty = \omega_3^\infty = D_x^\infty = D_y^\infty = B_x^\infty = B_y^\infty = 0. \quad (3.1)$$

При этом для остальных величин получаем

$$E_x^\infty = -g_{12}p, \quad E_y^\infty = -g_{22}p, \quad H_x^\infty = -p_{12}p, \quad H_y^\infty = -p_{22}p.$$

2. На пластину действует поле с вектором электрической напряженности $E_y^\infty = \varepsilon$, остальные компоненты напряженности, напряжения и угол жесткого поворота равны нулю:

$$E_y^\infty = \varepsilon, \quad \sigma_x^\infty = \sigma_y^\infty = \tau_{xy}^\infty = \omega_3^\infty = E_x^\infty = H_x^\infty = H_y^\infty = 0. \quad (3.2)$$

Для остальных величин имеем

$$D_x^\infty = -\frac{\Delta_1}{\Delta}, \quad D_y^\infty = \frac{\Delta_2}{\Delta}, \quad B_x^\infty = -\frac{\Delta_3}{\Delta}, \quad B_y^\infty = \frac{\Delta_4}{\Delta}, \quad (3.3)$$

где

$$\Delta_1 = \varepsilon \begin{vmatrix} \beta_{12} & \nu_{11} & \nu_{12} \\ \nu_{12} & \chi_{11} & \chi_{12} \\ \nu_{22} & \chi_{12} & \chi_{22} \end{vmatrix}, \quad \Delta_2 = \varepsilon \begin{vmatrix} \beta_{11} & \nu_{11} & \nu_{12} \\ \nu_{11} & \chi_{11} & \chi_{12} \\ \nu_{12} & \chi_{12} & \chi_{22} \end{vmatrix}, \quad \Delta_3 = \varepsilon \begin{vmatrix} \beta_{11} & \beta_{12} & \nu_{12} \\ \nu_{11} & \nu_{12} & \chi_{12} \\ \nu_{12} & \nu_{22} & \chi_{22} \end{vmatrix},$$

$$\Delta_4 = \varepsilon \begin{vmatrix} \beta_{11} & \beta_{12} & \nu_{11} \\ \nu_{11} & \nu_{12} & \chi_{11} \\ \nu_{12} & \nu_{22} & \chi_{12} \end{vmatrix}, \quad \Delta = \begin{vmatrix} \beta_{11} & \beta_{12} & \nu_{11} & \nu_{12} \\ \beta_{12} & \beta_{12} & \nu_{12} & \nu_{22} \\ \nu_{11} & \nu_{12} & \chi_{11} & \chi_{12} \\ \nu_{12} & \nu_{22} & \chi_{12} & \chi_{22} \end{vmatrix}.$$

3. На пластину действует поле с вектором магнитной напряженности $H_y^\infty = \mu$, остальные компоненты напряженности, напряжения и угол жесткого поворота равны нулю:

$$H_y^\infty = \mu, \quad \sigma_x^\infty = \sigma_y^\infty = \tau_{xy}^\infty = \omega_3^\infty = E_x^\infty = E_y^\infty = H_x^\infty = 0. \quad (3.4)$$

Для остальных величин получаем выражения (3.3), в которых принимаем

$$\Delta_1 = \mu \begin{vmatrix} \beta_{12} & \nu_{11} & \nu_{12} \\ \beta_{12} & \nu_{12} & \nu_{22} \\ \nu_{12} & \chi_{11} & \chi_{12} \end{vmatrix}, \quad \Delta_2 = \mu \begin{vmatrix} \beta_{11} & \nu_{11} & \nu_{12} \\ \beta_{12} & \nu_{12} & \nu_{22} \\ \nu_{11} & \chi_{11} & \chi_{12} \end{vmatrix},$$

$$\Delta_3 = \mu \begin{vmatrix} \beta_{11} & \beta_{12} & \nu_{12} \\ \beta_{12} & \beta_{12} & \nu_{22} \\ \nu_{11} & \nu_{12} & \chi_{12} \end{vmatrix}, \quad \Delta_4 = \mu \begin{vmatrix} \beta_{11} & \beta_{12} & \nu_{11} \\ \beta_{12} & \beta_{12} & \nu_{12} \\ \nu_{11} & \nu_{12} & \chi_{11} \end{vmatrix}.$$

В рассматриваемой задаче комплексные потенциалы для пластины и включения принимают вид

$$\Phi_{jk}(z_k) = \Gamma_{0k}z_k + \Phi_{jk1}^*(z_k), \quad \Phi_{jk}^{(1)}(z_k^{(1)}) = \Phi_{jk}^{*(1)}(z_k^{(1)}),$$

где Γ_{0k} — величины, определяемые из первой системы уравнений (2.3) с учетом (3.1), (3.2), (3.4); $\Phi_{jk1}^*(z_k)$ — функции, голоморфные вне эллипсов L_{k1} , соответствующих L_1 при аффинных преобразованиях (2.1); $\Phi_{jk}^{*(1)}(z_k^{(1)})$ — функции, голоморфные внутри эллипсов $L_k^{(1)}$. Для построения этих функций используем конформные отображения. Функции

$$z_k = R_{k1}(\zeta_{k1} + m_{k1}/\zeta_{k1}), \quad z_k^{(1)} = R_k^{(1)}(\zeta_k^{(1)} + m_k^{(1)}/\zeta_k^{(1)}),$$

где

$$R_{k1} = \frac{a_1 - i\mu_k b_1}{2}, \quad m_{k1} = \frac{a_1 + i\mu_k b_1}{a_1 - i\mu_k b_1}, \quad R_k^{(1)} = \frac{a_1 - i\mu_k^{(1)} b_1}{2}, \quad m_k^{(1)} = \frac{a_1 + i\mu_k^{(1)} b_1}{a_1 - i\mu_k^{(1)} b_1},$$

конформно отображают внешности единичных кругов $|\zeta_{k1}| \geq 1$ и $|\zeta_k^{(1)}| \geq 1$ на внешности эллипсов L_{k1} и $L_k^{(1)}$. Тогда функции $\Phi_{jk1}(z_k)$, голоморфные вне эллипсов L_{k1} , являются голоморфными вне единичных кругов $|\zeta_{k1}| \geq 1$ включая бесконечно удаленную точку, и их можно представить в виде рядов Лорана по отрицательным степеням ζ_{k1} , а функции $\Phi_{jk}^{*(1)}(z_k^{(1)})$, голоморфные в эллипсах $L_k^{(1)}$, можно представить в виде рядов по полиномам Фабера [7]. Учитывая эти представления и удовлетворяя граничным условиям (2.5) на контуре контакта пластины и включения, получаем систему для определения коэффициентов рядов. Окончательно комплексные потенциалы получаем в виде

$$\Phi_{jk}(z_k) = \Gamma_{0k}z_k + \frac{a_{jk11}}{\zeta_{k1}}, \quad \Phi_{jk}^{(1)}(z_k^{(1)}) = a_{jk1}^{(1)} \frac{z_k^{(1)}}{R_k^{(1)}}, \quad (3.5)$$

где a_{jk11} , $a_{jk1}^{(1)}$ — постоянные, определяемые из решения системы уравнений

$$\begin{aligned} & \sum_{k=1}^4 (g_{ki} a_{jk11} - g_{ki}^{(l)} a_{k1}^{(1)} m_k^{(1)} - \bar{g}_{ki}^{(l)} \bar{a}_{k1}^{(1)}) = - \sum_{k=1}^4 \delta_j^0 (g_{ki} \Gamma_{0k} R_{k1} m_{k1} + \bar{g}_{ki} \bar{\Gamma}_{0k} \bar{R}_{k1}), \\ & \sum_{k=1}^4 [(p_{k0}, q_{k0}) a_{jk11} - (p_{k0}^{(1)}, q_{k0}^{(1)}) a_{jk1}^{(1)} m_k^{(1)} - (\bar{p}_{k0}^{(1)}, \bar{q}_{k0}^{(1)}) \bar{a}_{jk1}^{(1)}] = \\ & = - \sum_{k=1}^4 \delta_j^0 [(p_{k0}, q_{k0}) \Gamma_{0k} R_{k1} m_{k1} + (\bar{p}_{k0}, \bar{q}_{k0}) \bar{\Gamma}_{0k} \bar{R}_{k1}] - \\ & \quad - \sum_{k=1}^4 \delta_j^1 [(p_{k1}, q_{k1}) \Gamma_{0k} R_{k1} m_{k1} + (\bar{p}_{k1}, \bar{q}_{k1}) \bar{\Gamma}_{0k} \bar{R}_{k1}] - \\ & \quad - \sum_{k=1}^4 (1 - \delta_j^0) [(p_{k1}, q_{k1}) a_{j-1k11} - (p_{k1}^{(1)}, q_{k1}^{(1)}) a_{j-1k1}^{(1)} m_k^{(1)} - (\bar{p}_{k1}^{(1)}, \bar{q}_{k1}^{(1)}) \bar{a}_{j-1k1}^{(1)}]. \end{aligned}$$

Вычисляя по формуле (2.7) степени малого параметра λ^j и умножая их на функции приближений (3.5), получаем комплексные потенциалы (2.6), (2.9) и их производные, а по ним — основные характеристики (2.8) в любой момент времени.

Таблица 1

Характеристики материалов

Характеристика	Материал		
	М1	М2	М3
s_{11}/s_0	7,165	22,260	10,745
s_{22}/s_0	6,797	14,984	7,398
s_{66}/s_0	19,912	47,481	7,637
s_{12}/s_0	-2,337	-6,437	-2,542
g_{16}/g_0	2,028	109,220	2,054
g_{21}/g_0	-0,496	-4,333	-1,159
g_{22}/g_0	1,157	8,016	2,458
p_{16}/p_0	1,850	268,318	98,843
p_{21}/p_0	0,576	17,778	12,102
p_{22}/p_0	1,186	31,206	22,268
β_{11}/β_0	0,156	19,612	0,106
β_{22}/β_0	0,137	10,612	0,090
ν_{11}/ν_0	-0,190	213,404	-14,931
ν_{22}/ν_0	-0,185	-5,534	-3,740
$\chi_{11}/\chi_0 = \chi_{33}/\chi_0$	0,336	0,590	0,805
χ_{22}/χ_0	0,119	0,575	0,704
α^*	0,500	0,220	0,250
β_1^*	0,001 10	0,014 00	0,000 39
β_2^*	0,000 95	0,000 78	0,000 15
δ_1^*	0,0069	0,0095	0,0061
δ_2^*	0,0065	0,0064	0,0066

Численно исследуем изменения во времени основных характеристик в пластине для следующих материалов: композита на основе $\text{BaTiO}_3 - \text{CoFe}_2\text{O}_4$ (материал М1) [8]; композита, упругие и электрические постоянные которого соответствуют селениду кадмия CdSe , а пьезомагнитные и магнитные — BaTiO_3 [9] (материал М2); композита, упругие, пьезоэлектрические и электрические постоянные которого соответствуют материалу PZT-4, а пьезомагнитные и магнитные — CoFe_2O_4 [9] (материал М3). Характеристики материалов, вычисленные при $s_0 = 10^{-6}$ МПа $^{-1}$, $g_0 = 10^{-2}$ м 2 /МКл, $p_0 = 10^{-5}$ МТл $^{-1}$, $\beta_0 = 10^3$ МН·м 2 /МКл 2 , $\nu_0 = 10^{-1}$ МКл·м/МА, $\chi_0 = 10^{-1}$ МПа/МТл $^{-2}$, приведены в табл. 1. Характеристики материалов включений полагаются связанными с соответствующими характеристиками материала пластины следующим образом:

$$s_{ij}^{(1)} = \lambda_s^{(1)} s_{ij}, \quad g_{ki}^{(1)} = \lambda_{pe}^{(1)} g_{ki}, \quad p_{ki}^{(1)} = \lambda_{pe}^{(1)} p_{ki},$$

$$\beta_{kl}^{(1)} = \frac{1}{\lambda_{pe}^{(1)}} \beta_{kl}, \quad \chi_{kl}^{(1)} = \frac{1}{\lambda_{pe}^{(1)}} \chi_{kl}, \quad \nu_{ij}^{(1)} = \frac{1}{\lambda_{pe}^{(1)}} \nu_{ij}$$

($\lambda_s^{(1)}$, $\lambda_{pe}^{(1)}$ — параметры относительной жесткости и пьезоэффективности материала ядра $S^{(1)}$). Реологические постоянные материалов выбирались на основе анализа известных реологических постоянных [6, 10]. При проведении расчетов количество приближений j по степеням малого параметра λ увеличивалось до тех пор, пока максимальные значения основных характеристик ЭМУС на двух последовательных приближениях различались не более чем на 0,01 % (в рассмотренных случаях необходимо 5–10 приближений (степеней малого параметра λ)).

На рис. 2 для случая растяжения усилиями $\sigma_y^\infty = p$ пластины из материалов М1 и М2 соответственно с круговым включением радиусом a приведены распределения напряже-

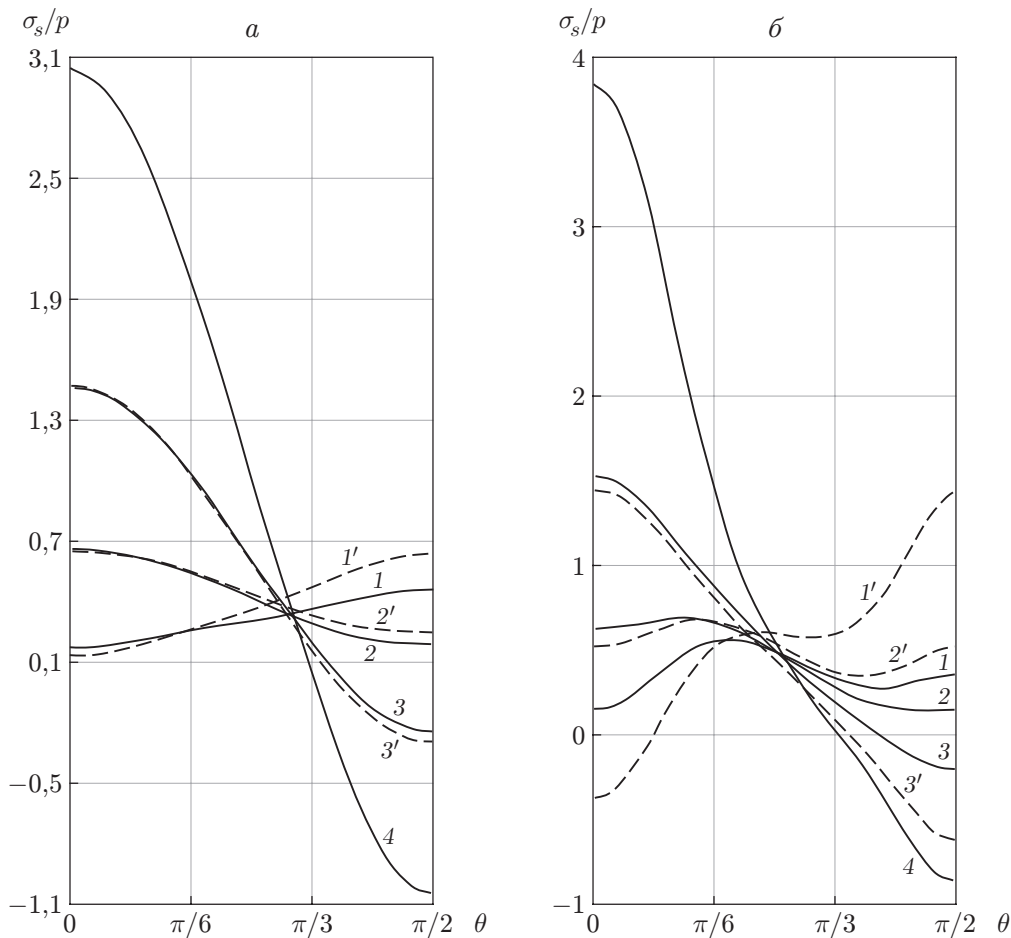


Рис. 2. Распределение напряжений σ_s по контуру при растяжении усилиями $\sigma_y^\infty = p$ пластин из материалов М1 (а) и М2 (б) при $\lambda_{pe}^{(1)} = 1$ и различных значениях параметра $\lambda_s^{(1)}$:

сплошные линии — начальное состояние, штриховые — стационарное состояние; 1, 1' — $\lambda_s^{(1)} = 0$, 2, 2' — $\lambda_s^{(1)} = 0,5$, 3, 3' — $\lambda_s^{(1)} = 2,0$, 4 — $\lambda_s^{(1)} = \infty$

ний σ_s по контуру для начального и стационарного состояний при $\lambda_{pe}^{(1)} = 1$ и различных значениях параметра $\lambda_s^{(1)}$ (θ — центральный угол отверстия, отсчитываемый от оси Ox против часовой стрелки). Установлено, что стационарное состояние в пластинах из этих материалов достигается приблизительно через 200 ч. Видно, что при переходе в стационарное состояние напряжения изменяются значительно, особенно при увеличении жесткости включения (уменьшении параметра $\lambda_s^{(1)}$). При переходе в стационарное состояние значения напряжений в точке A при $\lambda_s^{(1)} < 1$ уменьшаются, при $\lambda_s^{(1)} > 1$ — увеличиваются. В точке B при переходе в стационарное состояние значения напряжений увеличиваются при любых значениях $\lambda_s^{(1)}$. При уменьшении относительной жесткости включения (увеличении $\lambda_s^{(1)}$) концентрация напряжений в окрестности точек A и B (см. рис. 1) увеличивается, при этом зависимость напряжений от времени уменьшается как в случае абсолютно мягкого включения ($\lambda_s^{(1)} = \infty$), так и в задачах вязкоупругости для анизотропных пластин [11], значения напряжений со временем не меняются. При $\lambda_s^{(1)} < 10^{-2}$ включение

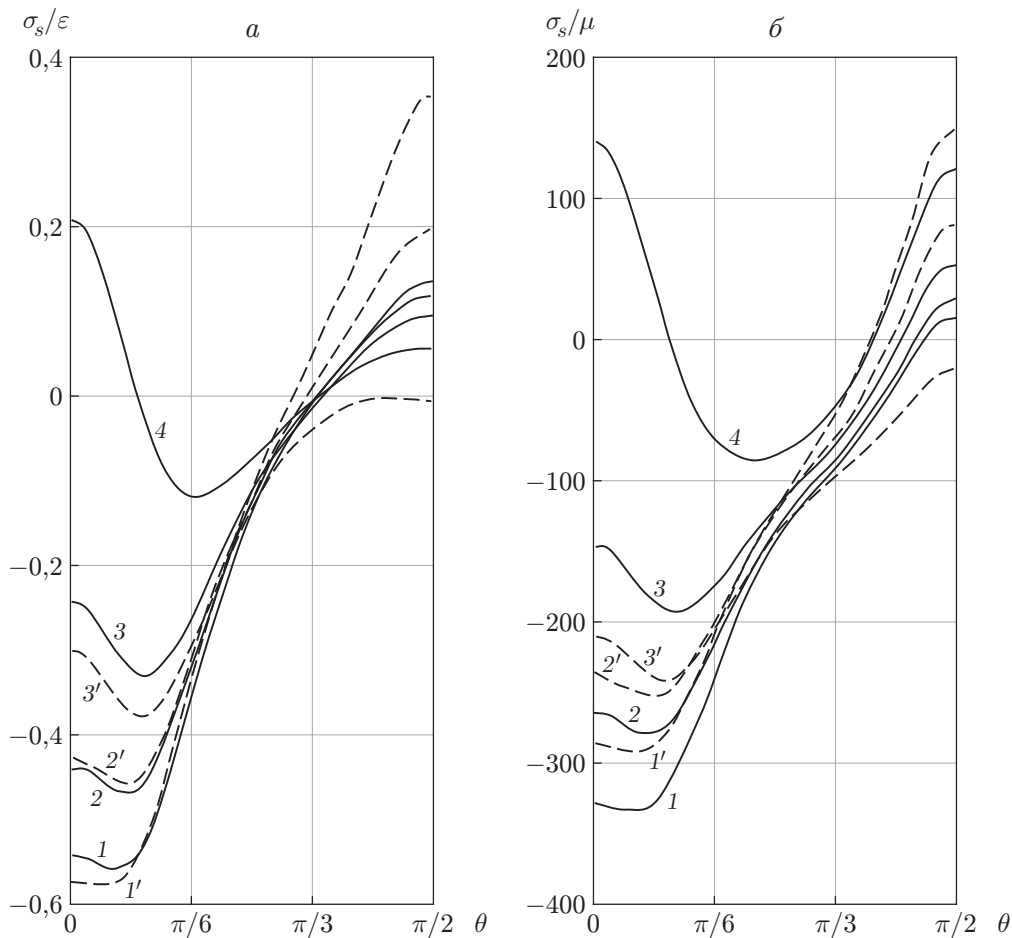


Рис. 3. Распределение напряжений σ_s по контуру при воздействии электрического поля E_y^∞ (а) и магнитного поля H_y^∞ (б) на пластину из материала М2 при $\lambda_{pe}^{(1)} = 0,5$ и различных значениях параметра $\lambda_s^{(1)}$ (обозначения те же, что на рис. 2)

можно считать абсолютно жестким, при $\lambda_s^{(1)} > 10^2$ — абсолютно мягким. При переходе в стационарное состояние пластины из “сильно анизотропного” материала М2 напряжения меняются существенно, чем при переходе пластины из “слабо анизотропного” материала М1. Так, при $\lambda_s^{(1)} = 0$ значения σ_s в точке В для пластины из материала М1 изменяются на 39 %, тогда как для пластины из материала М2 — более чем на 250 %. С увеличением параметра пьезоэффективности $\lambda_{pe}^{(1)}$ напряжения при переходе в стационарное состояние также изменяются существенно.

На рис. 3,а для пластины из материала М2 при действии на бесконечности электрического поля с напряженностью $E_y^\infty = \varepsilon$ с точностью до ε приведены распределения напряжений σ_s по контуру для начального и стационарного состояний при $\lambda_{pe}^{(1)} = 0,5$ и различных значениях параметра $\lambda_s^{(1)}$. На рис. 3,б приведены распределения напряжений для случая действия на бесконечности магнитного поля $H_y^\infty = \mu$. Из рис. 3 следует, что закономерности влияния жесткости включения при действии электрического или магнитного поля такие же, как и в случае растяжения. Так, изменение напряжений при переходе в стационарное состояние значительно и увеличивается с уменьшением параметра $\lambda_s^{(1)}$. При

действию на бесконечности магнитного поля H_y^∞ значения напряжений и их изменения во времени наиболее велики. Заметим, что для рассматриваемых механических и электромагнитных воздействий исследовались также изменения со временем значений векторов индукций и напряженностей электромагнитного поля. Установлено, что по сравнению с изменениями напряжений и компонент векторов напряженностей поля изменения значения компонент векторов индукций $D_x^\infty, D_y^\infty, B_x^\infty, B_y^\infty$ пренебрежимо малы.

4. Пластина с конечным числом включений. Пусть бесконечная пьезопластина имеет ряд эллиптических включений из других пьезоматериалов. Как и в случае электромагнитоупругости [1], для комплексных потенциалов приближений получаем

$$\Phi_{jk}(z_k) = \Gamma_{jk} z_k + \sum_{l=1}^L \sum_{n=1}^{\infty} a_{jkl n} \varphi_{kl n}(z_k), \quad \Phi_{jk}^{(l)}(z_k^{(l)}) = \sum_{n=0}^{\infty} a_{jkn}^{(l)} \psi_{kn}^{(l)}(z_k^{(l)}),$$

где Γ_{jk} — постоянные, определяемые из систем уравнений (2.3),

$$\varphi_{kl n}(z_k) = \zeta_{kl}^{-n}, \quad \psi_{kn}^{(l)}(z_k^{(l)}) = \frac{(z_k^{(l)} - z_{k0}^{(l)})^n}{(R_k^{(l)})^n},$$

$a_{jkl n}, a_{jkn}^{(l)}$ — постоянные, определяемые из граничных условий; ζ_{kl} — переменная, определяемая из конформных отображений [12]

$$\begin{aligned} z_k &= z_{0kl} + R_{kl}(\zeta_{kl} + m_{kl}/\zeta_{kl}), & z_{0kl} &= x_{0l} + \mu_k y_{0l}, \\ R_{kl} &= [a_l(\cos \varphi_l + \mu_k \sin \varphi_l) + ib_l(\sin \varphi_l - \mu_k \cos \varphi_l)]/2, \\ m_{kl} &= [a_l(\cos \varphi_l + \mu_k \sin \varphi_l) - ib_l(\sin \varphi_l - \mu_k \cos \varphi_l)]/(2R_{kl}), \\ R_k^{(l)} &= [a_l(\cos \varphi_l + \mu_k^{(l)} \sin \varphi_l) + ib_l(\sin \varphi_l - \mu_k^{(l)} \cos \varphi_l)]/2, \\ z_{k0}^{(l)} &= x_{0l} + \mu_k^{(l)} y_{0l}, \end{aligned}$$

x_{0l}, y_{0l} — координаты центра эллипса L_l в выбранной системе координат Oxy ; φ_l — угол между осью Ox и полуосью a_l эллипса L_l , отсчитываемый от оси Ox против часовой стрелки.

В случае многосвязной области удобнее удовлетворять граничным условиям в дифференциальной форме. Продифференцировав уравнения (2.5) по дуге контура, находим

$$\begin{aligned} 2 \operatorname{Re} \sum_{k=1}^4 [g_{ki} \delta_k \Phi'_{jk}(t_k) - g_{ki}^{(l)} \delta_k^{(l)} \Phi_{jk}^{\prime(l)}(t_k^{(l)})] &= 0 \quad (i = \overline{1, 6}), \\ 2 \operatorname{Re} \sum_{k=1}^4 [(p_{k0}, q_{k0}) \delta_k \Phi'_{jk}(t_k) - (p_{k0}^{(l)}, q_{k0}^{(l)}) \delta_k^{(l)} \Phi_{jk}^{\prime(l)}(t_k^{(l)})] &= \\ &= -2 \operatorname{Re} \sum_{k=1}^4 (1 - \delta_j^0) [(p_{k1}, q_{k1}) \delta_k^{(l)} \Phi'_{j-1,k}(t_k) - (p_{k1}^{(l)}, q_{k1}^{(l)}) \delta_k^{(l)} \Phi_{j-1,k}^{\prime(l)}(t_k^{(l)})] + \\ &\quad + \delta_j^0 \left(\frac{du^*}{ds} - (\omega_{j3} - \omega_{j3}^{(l)}) \frac{dy}{ds}, \frac{dv^*}{ds} + (\omega_{j3} - \omega_{j3}^{(l)}) \frac{dx}{ds} \right), \end{aligned} \quad (4.1)$$

где $\delta_k = dz_k/ds$,

$$\Phi'_{jk}(z_k) = \Gamma_{jk} + \sum_{l=1}^L \sum_{n=1}^{\infty} a_{jkl n} \varphi'_{kl n}(z_k), \quad \Phi_{jk}^{\prime(l)}(z_k^{(l)}) = \sum_{n=1}^{\infty} a_{jkn}^{(l)} \psi_{kn}^{\prime(l)}(z_k^{(l)}); \quad (4.2)$$

$$\varphi'_{kln}(z_k) = -\frac{n}{R_{kl}\zeta_{kl}^{n-1}(\zeta_{kl}^2 - m_{kl})}, \quad \psi'_{kn}{}^{(l)}(z_k^{(l)}) = \frac{n(z_k^{(l)} - z_{k0}^{(l)})^{n-1}}{(R_k^{(l)})^n}.$$

Выберем на контурах контактов пластины-матрицы и включений систему точек $M_{lm}(x_{lm}, y_{lm})$ ($m = \overline{1, M_l}$; $l = \overline{1, L}$), в которых удовлетворяются граничные условия (4.1). Подставляя функции (4.2) в эти граничные условия в точках $M_{lm}(x_{lm}, y_{lm})$, получаем

$$\begin{aligned} & \sum_{k=1}^4 \left(\sum_{l=1}^L \sum_{n=1}^{\infty} (g_{ki}\delta_k a_{jkl n} \varphi'_{kln}(t_{klm}) + \bar{g}_{ki}\bar{\delta}_k \bar{a}_{jkl n} \overline{\varphi'_{kln}(t_{klm})}) - \right. \\ & \quad \left. - \sum_{n=1}^{\infty} (g_{ki}^{(l)} \delta_k^{(l)} a_{jkn}^{(l)} \psi'_{kn}{}^{(l)}(t_{km}^{(l)}) + \bar{g}_{ki}^{(l)} \bar{\delta}_k^{(l)} \bar{a}_{jkn}^{(l)} \overline{\psi'_{kn}{}^{(l)}(t_{km}^{(l)})}) \right) = \\ & \quad = - \sum_{k=1}^4 \delta_j^0 (g_{ki}\delta_k \Gamma_{jk} + \bar{g}_{ki}\bar{\delta}_k \bar{\Gamma}_{jk}) \quad (i = \overline{1, 6}), \\ & \sum_{k=1}^4 \left(\sum_{l=1}^L \sum_{n=1}^{\infty} ((p_{k0}, q_{k0})\delta_k a_{jkl n} \varphi'_{kln}(t_{klm}) + (\bar{p}_{k0}, \bar{q}_{k0})\bar{\delta}_k \bar{a}_{jkl n} \overline{\varphi'_{kln}(t_{klm})}) - \right. \\ & \quad \left. - \sum_{n=1}^{\infty} ((p_{k0}^{(l)}, q_{k0}^{(l)})\delta_k^{(l)} a_{jkn}^{(l)} \psi'_{kn}{}^{(l)}(t_{km}^{(l)}) + (\bar{p}_{k0}^{(l)}, \bar{q}_{k0}^{(l)})\bar{\delta}_k^{(l)} \bar{a}_{jkn}^{(l)} \overline{\psi'_{kn}{}^{(l)}(t_{km}^{(l)})}) \right) = \\ & \quad = - \sum_{k=1}^4 \delta_j^0 [(p_{k0}, q_{k0})\delta_k \Gamma_{jk} + (\bar{p}_{k0}, \bar{q}_{k0})\bar{\delta}_k \bar{\Gamma}_{jk}] - \\ & \quad - \sum_{k=1}^4 (1 - \delta_j^0) \left(\sum_{l=1}^L \sum_{n=1}^{\infty} ((p_{k1}, q_{k1})\delta_k a_{j-1, kln} \varphi'_{kln}(t_{klm}) + (\bar{p}_{k1}, \bar{q}_{k1})\bar{\delta}_k \bar{a}_{j-1, kln} \overline{\varphi'_{kln}(t_{klm})}) - \right. \\ & \quad \left. - \sum_{n=1}^{\infty} ((p_{k1}^{(l)}, q_{k1}^{(l)})\delta_k^{(l)} a_{j-1, kn}^{(l)} \psi'_{kn}{}^{(l)}(t_{km}^{(l)}) + (\bar{p}_{k1}^{(l)}, \bar{q}_{k1}^{(l)})\bar{\delta}_k^{(l)} \bar{a}_{j-1, kn}^{(l)} \overline{\psi'_{kn}{}^{(l)}(t_{km}^{(l)})}) \right) \quad (i = 1, 2), \quad (4.3) \end{aligned}$$

где $t_{klm} = x_{lm} + \mu_k y_{lm}$; $t_{km}^{(l)} = x_{lm} + \mu_k^{(l)} y_{lm}$.

Система (4.3) состоит из $8M_L$ линейных алгебраических уравнений, где $M_L = \sum_{l=1}^L M_l$.

Если в рядах (4.2) оставлять по N членов, то каждое уравнение будет содержать $16NL$ вещественных неизвестных для определения комплексных постоянных $a_{jkl n}$ и $a_{jkn}^{(l)}$ ($k = \overline{1, 4}$, $l = \overline{1, L}$, $n = \overline{1, N}$). Приближенное решение системы будем искать с использованием сингулярного разложения [13, 14].

После нахождения приближенного решения системы постоянные $a_{jkl n}$, $a_{jkn}^{(l)}$, а следовательно, и функции приближений будут известны. По этим функциям, заменяя степени малого параметра λ^j временными операторами (2.7), можно определить комплексные потенциалы (2.6), (2.9) и их производные в любой момент времени, а по ним и основные характеристики ЭМУС (2.8) в пластине-матрице и включении в любой момент времени.

В табл. 2 для случая растяжения пластины из материала М1 с двумя одинаковыми круговыми включениями радиусом a на бесконечности усилиями $\sigma_y^\infty = p$ (случай нагружения (3.1)) при различных значениях параметра относительной жесткости $\lambda_s^{(i)}$ и расстояния s между контурами включений приведены значения нормальных напряжений σ_s

Таблица 2

Значения нормальных напряжений σ_s в точках A и B при растяжении пластины на бесконечности усилиями $\sigma_y^\infty = p$ при различных значениях $\lambda_s^{(i)}$, c/a

$\lambda_s^{(i)}$	Точка	t , ч	σ_s					
			$c/a = \infty$	$c/a = 10,0$	$c/a = 2,0$	$c/a = 1,0$	$c/a = 0,5$	$c/a = 0,1$
0,1	A	0	0,285	0,285	0,248	0,198	0,132	-0,012
		200	0,251	0,250	0,196	0,123	0,026	-0,191
	B	0	0,394	0,393	0,386	0,382	0,380	0,380
		200	0,541	0,542	0,531	0,525	0,521	0,519
0,5	A	0	0,657	0,656	0,642	0,618	0,578	0,478
		200	0,645	0,644	0,627	0,601	0,556	0,444
	B	0	0,187	0,186	0,180	0,179	0,180	0,183
		200	0,247	0,246	0,238	0,236	0,236	0,239
2,0	A	0	1,454	1,455	1,467	1,502	1,589	1,917
		200	1,462	1,462	1,468	1,498	1,582	1,911
	B	0	-0,243	-0,240	-0,225	-0,224	-0,227	-0,235
		200	-0,294	-0,290	-0,272	-0,270	-0,273	-0,282
10,0	A	0	2,460	2,460	2,481	2,635	3,086	5,342
		200	2,464	2,465	2,468	2,610	3,048	5,267
	B	0	-0,763	-0,763	-0,681	-0,681	-0,699	-0,743
		200	-0,819	-0,820	-0,731	-0,731	-0,749	-0,795

в точках A и B пластины на площадках, перпендикулярных контуру включения в начальном (0 ч) и стационарном (через 200 ч) состояниях. Из табл. 2 следует, что с уменьшением расстояния между включениями концентрация напряжений в области между включениями увеличивается при $\lambda_s^{(i)} > 1$ и уменьшается при $\lambda_s^{(i)} < 1$. При переходе в стационарное состояние с уменьшением расстояния между включениями изменение напряжений в точке A увеличивается, а в точке B уменьшается. При $c/a > 2$ влияние одного включения на напряженное состояние вблизи другого включения незначительно и им можно пренебречь.

ЛИТЕРАТУРА

1. Калоеров С. А. Двумерные задачи электромагнитоупругости для многосвязных тел / С. А. Калоеров, А. В. Петренко. Донецк: Юго-Восток, 2011.
2. Калоеров С. А., Самодуров А. А. Влияния значений пьезомодулей на пьезоэффект в задачах электромагнитоупругости // Теорет. и прикл. механика. 2013. Вып. 7. С. 118–130.
3. Партон В. З. Электромагнитоупругость пьезоэлектрических и электропроводных тел / В. З. Партон, Б. А. Кудрявцев. М.: Наука, 1988.
4. Калоеров С. А., Самодуров А. А. Решение задачи электромагнитовязкоупругости для многосвязных кусочно-однородных пластинок // Теорет. и прикл. механика. 2014. Вып. 8. С. 57–76.
5. Работнов Ю. Н. Ползучесть элементов конструкций. М.: Наука, 1966.
6. Савин Г. Н. Распределение напряжений около отверстий. Киев: Наук. думка, 1968.
7. Калоеров С. А. Концентрация напряжений в многосвязных изотропных пластинках / С. А. Калоеров, Е. В. Авдюшина, А. Б. Мироненко. Донецк: Изд-во Донец. нац. ун-та, 2013.

8. **Tian W.-Y., Gabbert U.** Multiple crack interaction problem in magnetoelectroelastic solids // *Europ. J. Mech. A.* 2004. V. 23. P. 599–614.
9. **Hrennikoff A.** Solution of problems of elasticity by the framework method // *J. Appl. Mech.* 1941. V. 8. P. A169–A175.
10. **Каминский А. А.** Длительное разрушение полимерных и композитных материалов с трещинами / А. А. Каминский, Д. А. Гаврилов. Киев: Наук. думка, 1992.
11. **Калоеров С. А., Паршикова О. А.** Решение задачи термовязкоупругости для анизотропной пластинки // *Теорет. и прикл. механика.* 2011. № 2. С. 51–70.
12. **Калоеров С. А., Горянская Е. С.** Двумерное напряженно-деформированное состояние многосвязного анизотропного тела // *Механика композитов: В 12 т. Т. 7. Концентрация напряжений.* Киев: А.С.К., 1998. С. 10–26.
13. **Воеводин В. В.** Вычислительные основы линейной алгебры. М.: Наука, 1977.
14. **Форсайт Дж.** Машинные методы математических вычислений / Дж. Форсайт, М. Малкольм, К. Моулер. М.: Мир, 1980.

*Поступила в редакцию 27/І 2015 г.,
в окончательном варианте — 17/VІІІ 2015 г.*
